安定化有限要素法を用いた植生を考慮した風況解析

中央大学大学院 学生員 板橋 正会員 樫山 和男

1. はじめに

都市域においてヒートアイランド現象,及びそれと連動 して起こる大気汚染や粉塵公害の現象や,これらの対策と して進められている屋上緑化等の屋外温熱環境緩和手法の 効果を植生を考慮し,定量的に評価することは極めて重要 である.このヒートアイランド現象における既存の数値解 析の研究では差分法が多く用いられている.しかし,構造 物や地形などの任意複雑形状への適合性において、非構造 格子に基づく有限要素法は優れた手法といえる.

そこで本報告では、改良 Launder-Kato 型の改良 $k-\varepsilon$ モ デル¹⁾ を安定化有限要素法に適用し,更に樹木の流体力学 的影響を考慮するため、持田らや大橋が提案した植生キャ ノピーモデル $^{(2)(3)}$ を組み込んだ、本解析手法の有効性につ いて検討を行うため、大橋の風洞実験結果 4) との比較を 行った.

2. 数值解析手法

(1) 基礎方程式

等温場における非圧縮性粘性流体を考え, 乱流モデルに は Launder-Kato 型の改良 $k-\varepsilon$ モデル $^{1)}$ を使用する.ア ンサンブル平均操作を施された運動方程式,連続式,乱れ工 ネルギーの輸送方程式,エネルギー散逸率の輸送方程式は, それぞれ式(1),(2),(3),(4)で表される. 運動方程式;

$$\frac{\partial \bar{u}_{i}}{\partial t} + \bar{u}_{j} \frac{\partial \bar{u}_{i}}{\partial x_{j}} + \frac{1}{\rho_{0}} \frac{\partial \bar{p}}{\partial x_{i}} + \frac{2}{3} \frac{\partial k}{\partial x_{i}} - \frac{\partial}{\partial x_{j}} \{ (\nu + \nu_{T}) \left(\frac{\partial \bar{u}_{i}}{\partial x_{j}} + \frac{\partial \bar{u}_{j}}{\partial x_{i}} \right) \} + F_{i} = 0 \quad (1)$$

連続式;

$$\frac{\partial \bar{u}_i}{\partial x_i} = 0 \tag{2}$$

乱れエネルギーkの輸送方程式;

$$\frac{\partial k}{\partial t} + \bar{u}_j \frac{\partial k}{\partial x_j} - (\nu + \frac{\nu_T}{\sigma_k}) \frac{\partial^2 k}{\partial x_j^2} - P_k + \varepsilon - F_k = 0 \quad (3)$$

エネルギー散逸率 ε の輸送方程式;

$$\begin{split} \frac{\partial \varepsilon}{\partial t} + \bar{u}_{j} \frac{\partial \varepsilon}{\partial x_{j}} - (\nu + \frac{\nu_{T}}{\sigma_{\varepsilon}}) \frac{\partial^{2} \varepsilon}{\partial x_{j}} - (C_{\varepsilon 1} P_{k} - C_{\varepsilon 2} \varepsilon) \frac{\varepsilon}{k} - F_{\varepsilon} &= 0 \\ \nu_{T} &= C_{\mu} \frac{k^{2}}{\varepsilon} \\ \bar{S}_{ij} &= \sqrt{\frac{1}{2} \left(\frac{\partial \bar{u}_{i}}{\partial x_{j}} + \frac{\partial \bar{u}_{j}}{\partial x_{i}} \right)^{2}}, \bar{\Omega}_{ij} &= \sqrt{\frac{1}{2} \left(\frac{\partial \bar{u}_{i}}{\partial x_{j}} - \frac{\partial \bar{u}_{j}}{\partial x_{i}} \right)^{2}} \\ \begin{cases} P_{k} &= \nu_{T} \bar{S}_{ij} \bar{\Omega}_{ij} & (\bar{\Omega}_{ij} / \bar{S}_{ij} & 1) \\ P_{k} &= \nu_{T} \bar{S}_{ij} \bar{S}_{ij} & (\bar{\Omega}_{ij} / \bar{S}_{ij} & 1) \end{cases} \end{split}$$

 \bar{u}_i , \bar{p} は,それぞれアンサンブル平均操作を施された流速, 圧力であり,kは乱れエネルギー, ε エネルギー散逸率, ν は動粘性係数 , u_T は渦動粘性係数 , ho_0 は基準密度 . また , 定数群は以下の通りである.

$$C_{\mu}=0.09~\sigma_{k}=1.0~\sigma_{\varepsilon}=1.3$$

$$C_{\varepsilon 1}=1.44~, C_{\varepsilon 2}=1.92$$

(2) 植生キャノピーモデル

樹木が温熱空気環境に及ぼす影響には, 主なものとして

- 1. 樹木の流体力学的影響.
- 2. 樹木による日射等の放射減衰の効果.
- 3.樹木の蒸発散による潜熱放射を含む熱収支への影響 等があげられるが,本研究では1.に着目した研究を行う.

樹木の流れ場に対する流体力学的影響とは, 主に樹木の 風速に対する流体力学的抵抗と乱れの増大効果であり、こ れらの効果をモデル化したものが、植生キャノピーモデル である.流体力学的抵抗に関するモデルは,運動方程式の 右辺に F_i として付加され,乱れの増大効果のに関するモデ ルは乱流エネルギー k の輸送方程式とエネルギー散逸率の 輸送方程式の右辺にそれぞれ F_k , F_ε として付加される. 更 に流体力学的抵抗の F_i のモデルに関してはどの提案者も同 じであるが, 乱れの増大効果の F_k , $F_{arepsilon}$ のモデルに関して は提案者によって異なる.以下に本論文で用いたモデルを 示す.

$$F_i = C_f a \bar{u}_i \sqrt{\bar{u}_j^2}$$

 $F_i = C_f a ar{u}_i \sqrt{ar{u}_j^2}$ 持田らが改良した Green のモデル $^{2)}$

$$F_k = \bar{u}_i F_i - 4 C_f a \sqrt{\bar{u}_i^2} k$$

$$F_\varepsilon = \frac{\varepsilon}{k} (C_{p\varepsilon 1} \bar{u}_i F_i - C_{p\varepsilon 2} 4 C_f a \sqrt{\bar{u}_i^2} k)$$
 大橋のモデル $^{3)}$

$$F_k = \bar{u}_i F_i - 4C_f a \sqrt{\bar{u}_i^2} k$$
$$F_\varepsilon = \frac{\varepsilon}{L} C_{p\varepsilon} a k^{3/2}$$

ここで, C_f は樹冠の抵抗係数,a は樹冠の葉面積密度 $[m^2/m^3]$, $C_{parepsilon}$ はモデル係数である.

(3) 安定化有限要素法

基礎方程式 (1),(2),(3),(4)に対して安定化有限要素法 を (SUPG/PSPG 法 ⁵⁾) を適用し,P1/P1(流速・圧力 1 次) 要素を用いて補間を行うと、次のような有限要素方程式を 得る.時間方向の離散化には,2次精度を有する Crank-Nicolson 法を用いた.移流項における移流速度 \bar{u}_i は,2次 精度 Adams-Bashforth 法により近似した. なお,連続式, 圧力は陰的に取り扱っている.連立1次方程式の解法には, Element-by-Element Bi-CGSTAB2 法を用いた.

安定化有限要素法,改良 $k-\varepsilon$ モデル,植生キャノピー

連絡先: 〒112-8551 東京都文京区春日 1-13-27 E-mail: show@civil.chuo-u.ac.jp

3. 数值解析例

(1) 解析条件

解析領域を 図 - 1 に、境界条件を 表 - 1 に示す.また,実験に用いられた樹木模型 $^{4)}$ は,樹高が 0.65[m],樹幹部分が 1 辺 0.3[m] の立方体であり,解析では植生キャノピーモデルの葉面積密度,抗力係数をそれぞれ $a=17.93[m^2/m^3]$, $C_f=0.8$ とした.解析に用いたメッシュは, $71\times 30\times 25$ の最小メッシュ幅 $2.28\times 10^{-2}[m]$ の不等分割メッシュを用いた.微少時間増分量は $\Delta t=1.0\times 10^{-3}[sec]$ とし,t=30[sec] まで解析を行った.解析は持田らが改良した Grenn のモデル $^{2)}$ (Case1: $C_{p\varepsilon 1}=1.8$, $C_{p\varepsilon 2}=1.4$,Case2: $C_{p\varepsilon 1}=1.8$, $C_{p\varepsilon 2}=1.6$)と,大橋のモデル $^{3)}$ (Case3: $C_{p\varepsilon}=3.0$)の,それぞれ 3 ケースについて行った.解析領域の中心軸(z 軸)上の高さ y=0.6[m]の LineA と,高さ y=0.8[m]の LineB において実測値 $^{4)}$ との比較を行った.

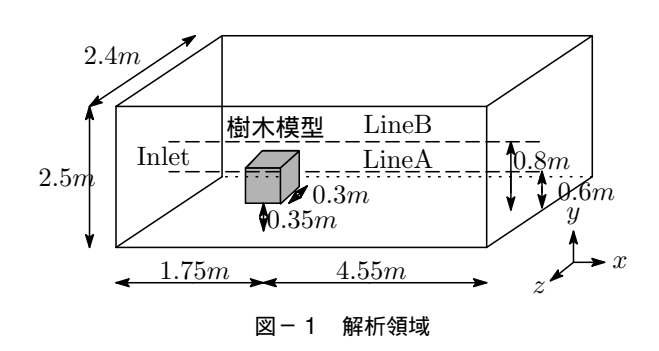


表-1 境界条件

流入境界	$ar{u}, k$ に関しては実験値を用いた. $^4)$
	$ar{v} = ar{w} = 0.0[m/s] \ arepsilon = 0.3k rac{\partial ar{u}}{\partial y}$
流出境界	自由流出境界($ar{u},ar{v},ar{w},k,arepsilon:\partial/\partial x=0$)
上端面	slip 条件
底面	一般化対数則

(2) 解析結果

図 - 2,3 に Case1 ~ 3 における LineA,B の平均風速を示す. 平均風速は 15~30[sec] の時間平均とした.

風速低減効果は,図 - 2における ${\rm LineA}(y=0.6[m])$ の高さの平均風速図から確認でき,どのケースにおいても定性的に一致している.定量的な比較をすると, ${\rm Case1},2$ は実験値よりも小さい値を示しており, ${\rm Case3}$ は実験値よりも大きな値を示している.また, ${\rm Case1}$ よりも ${\rm Case2}$ の方が若干ではあるが,実験値に近い値を示していることが確認できる.図 - 3 における ${\rm LineB}(y=0.8[m])$ の高さでの,実験の平均風速は樹木模型前方よりも模型後方で増加している.本解析のどのケースにおいても,樹木模型後方で風速の増加はするが模型から離れるにつれて,風速が大きく減少している. ${\rm Case1}$ と ${\rm Case2}$ の違いは殆ど見られず,樹木模型後方での風速の増加は実験値よりも大きいが,樹木模型から離れるにつれて実験値よりも小さい値を示してる. ${\rm Case3}$ は,樹木模型後方での風速の増加は実験値と良く一

致しているが, Case1,2 と同様, 樹木模型から離れるにつれ 風速の減少が見られ, 増加が維持されていない.

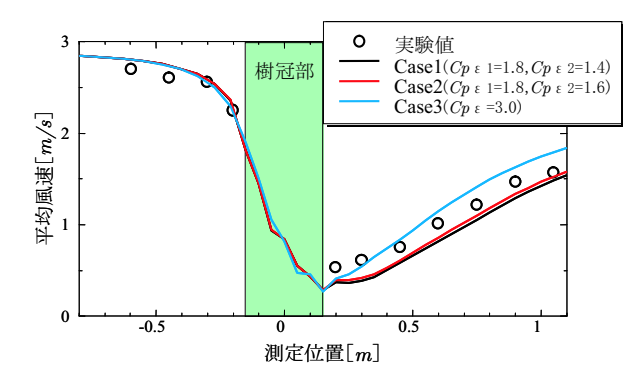


図-2 Case1~3の LineA(高さ y=0.6[m]) の平均風速

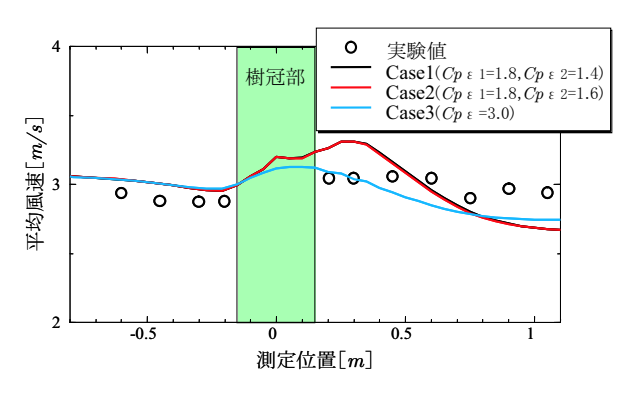


図-3 Case1~3の LineB(高さ y=0.8[m]) の平均風速

4. おわりに

本報告では、改良 Launder-Kato 型の改良 $k-\varepsilon$ モデルを 安定化有限要素法に適用した.更に樹木の流体力学的影響 を考慮するため、持田らや大橋の提案した植生キャノピーモ デルを組み込んだ.本解析手法の有効性の検討をするため、 大橋の風洞実験結果との比較を行い、以下の結論を得た.

- 持田らや大橋の提案したキャノピーモデルを用いる ことで、樹木模型後方での風速低減効果が確認でき、 定性的に妥当な解析結果を得る事が出来た.なお、 両モデルによる結果の差異は殆ど見られなかった.
- 樹木模型のある高さでの平均風速は実験値と良く一致しているが、樹木模型以上の高さでの平均風速に 差異が見られた。

今後の課題として,実際の樹木での解析及び熱収支の考慮を行う予定である.

参考文献

- 1) 村上周三: CFD による建築・都市の環境設計工学, 東京大学出版会,2000
- 2) 木村敦子,岩田達明,持田灯,吉野博,大岡龍三,吉田伸治:樹木の流体力学的効果の再現のための植生 Canopy モデルの最適化(その1),(その2),日本建築学会大会学術講演梗概集,pp.721-724,2003,9
- 3) 大橋征幹:単独樹木周辺の気流解析に関する研究,日本建築学会環境系論文集,第578号,pp.91-96,2004
- 4) 大橋征幹:樹木模型周辺の気流分布に関する風洞実験,日本建築学会大会学術講演梗概集(環境),pp.575-576,1996.
- 5) T.E.Tezduyar: Stabilized finite element formulations for incompressible flow computations, Advance in Applied Mechanics, 28, pp.1-44, 1991.